

漸面急変部における長周期波の水粒子速度に関する実験

徳島大学工業短期大学部 正員 ○村上仁士
 徳島大学工学部 正員 越智裕
 徳島大学大学院 学生員 高田富美男

1. まえがき: 湾氷振動を解明するうえで重要な防波堤開口部の水粒子速度特性を調べるために、漸面が急縮および急拡する場合について、開口部の最大水平水粒子速度と静水面下5cmの位置でプロペラ式流速計を用いて測定するとともに、水粒子速度に関する若干の理論的考察を行った。実験は、幅1m、深さ90cm、長さ30mの2次元造波水槽で行い、図-1に示す記号について、 b/B を0.3, 0.7, 1.1とすれば、それを b/B について、 D/b を0.2, 0.4, 0.6, 0.8, 1.1と変化させた。なお、実験条件は、周期 $T=2\text{ sec}$ 、水深 $h=15\text{ cm}$ 、入射波高は急縮の場合、 $H=1.15\text{ cm}$ 、急拡断面の場合、 $H=1.35\sim2.26\text{ cm}$ である。

2. 理論解析: (a) 防波堤開口部で波の位相変化がない場合 — (a-1) 急縮断面;

水槽IからIIへ波が進行する場合の、入射波 η_i 、反射波 η_r および透過程 η_t は、次式で示される。 $\eta_i = \alpha_i \sin(\omega t - kx)$ (1), $\eta_r = \alpha_r \sin(\omega t + kx)$ (2), $\eta_t = \alpha_t \sin(\omega t - kx)$ (3),

開口部での水平水粒子速度(以下、単に流速と呼ぶ)を V_t とするとき、開口部で水槽IとIIの流速は等しいので、 $B\eta_t(U_i + U_r) = C_1 D b V_t = b U_t h$ (4)を得る。

ここで、 η は断面変動による圧力で、 α は水の密度、 g は重力加速度である。 η をおめりため、運動量方程式から、 $b\eta_t(b/C_1 D) - 1 \} U_t^2 = b\eta_t(p - \rho g \eta_t)$ (7) と導かれる。式(4), (6)および(7)から、 $V_t, (U_i + U_r)$ を消去して、 $U_t = \sqrt{2g(\eta_i + \eta_r - \eta_t)/S_1}$ (8) が求められる。ただし、 $S_1 = \{(b/C_1 D)^2 - (b/B)^2\} + 2\{(b/C_1 D) - 1\}$ (9) である。いま、透過程率 α_t と反射率 β_r との関係は、 $\beta_r = 1 - (\frac{b}{B})\alpha_t$ (10) となるので、式(1)～(4)および(10)から、透過程率 α_t は次式となる。 $\alpha_t = \{-1 + (b/B)\} + \sqrt{1 + (b/B)^2 + S_2}\} / (S_2/4)$ (11)，ただし、 $S_2 = (2H^2/R) \times (\tanh(kh)/kh) \times S_1$ (12)，上式においては、 η_t として $H/2$ とておこなう。式(4)と(8)から、開口部の流速 V_t は次式となる。 $V_t = (b/C_1 D) \sqrt{2g(\eta_i + \eta_r - \eta_t)/S_1}$ (13)，波が長波で近似できる場合には、式(11)の透過程率 α_t および開口部の最大流速 V_{tmax} は簡単な次式で表される。 $\alpha_t = \{-1 + (b/B)\} + \sqrt{1 + (b/B)^2 + (2H^2/R)S_1}\} / (H^2/2R)S_1$ (14)， $V_{tmax} = (b/C_1 D) \sqrt{gH^2/2 - (b/B)\alpha_t} / S_1$ (15)。

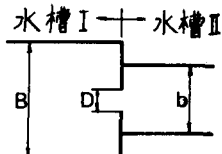


図-1 漸面急変部モデル

(a-2) 急拡断面; 急縮断面に関する式において、 C_1 と C_2 に、 b と B を入れかえた式になる。

(b) 防波堤開口部で波の位相変化がある場合 — (b-1) 急縮断面; Le Méhauté の方法¹⁾と同様に取り扱いをする。入射波の速度ポテンシャルは、波の振幅を α とすると、 $\phi_i = \alpha(\omega/R)\{\cosh(k(R+z)) / \sinh(kR)\} \sin(\omega t - kz)$ (16) とされる。水槽IIにおける速度ポテンシャル ϕ_t は、透過程率を α_t 、入射波に対する透過程波の位相のずれを δ_1 とすると、 $\phi_t = \alpha_t \alpha_i (\omega/R) \{\cosh(k(R+z)) / \sinh(kR)\} \sin(\omega t - kz + \delta_1)$ (17) と表される。開口部における流速 V_t 、流量係数を C_1 とおくと、開口部で水槽IIとIとの流量が連続であるから、 $b \int_{-h}^0 (-\frac{\partial \phi_t}{\partial z})_{z=0} dz = C_1 D b V_t$ (18) が得られる。式(17)と(18)から、 V_t が次式のようになる。 $V_t = b \{ \alpha \alpha_i / (C_1 D kh) \} \{ d + \cos(\omega t + \delta_1) \}$ (19)，波が長波の場合、最大流速 V_{tmax} を無次元化して表示すると次式となる。 $V_{tmax}/\sqrt{gh} = \{ b/(2C_1 D) \} (H/h) \alpha_t$ (20) ここで、 α_t として著者らによる実験式²⁾を用いると、 $\alpha_t = (D/b)^{1/4} (B/b)^{1/4}$ (21) が与えられる。(b-2) 急拡断面; 同様の考え方によって、流量係数を C_2 とすると、急拡断面における最大流速 V_{tmax} を無次元表示すれば次式となる。 $V_{tmax}/\sqrt{gh} = \{ B/(2C_2 D) \} (H/h) \alpha_2$ (22)，ここで、 α_2 は著者らが求めた急拡断面における透過程率で、次式で与えられる。 $\alpha_2 = (D/b)^{1/4} (b/B)^{1/4}$ (23)

3. 実験結果および考察： 図-2～図-6は、断面急変部における最大流速の実験値を示したもので、図-2(a)には、防波堤開口部で波の位相変化がないとした解析結果、図-2(b)には、波の位相変化を考慮した場合の解析結果を併記している。図中の○および●印は、それそれぞれ海向きおよび沖向き流速を表わしている。これらの図から、急縮および急拡断面にかかわらず、 b/B および D/b が小さくならバつれて V_{max} は大きくなり、海向きおよび沖向き流速が一致しなくなることがわかる。つまに、理論解と実験結果の比較を行なう。断面急変部で波の位相が変化しないと考えた場合(以下、@と呼ぶ)および位相変化を考慮した場合(以下、②と呼ぶ)を比較する。図-4をみると、②では、 D/b が 0.2 の付近で流量係数 C_f が小さくなるにつれて、 V_{max} が急激に大きくなる傾向を示してあり、実験結果とよく似た傾向を示している。

併次傾向を示しているが、@では、同じ $D/b = 0.2$ でも V_{max} が多激に大きくならぬで、実験結果とよく一致しないことがわかる。表-1は、実験値に合う流量係数 C_f を図から読みとくものと②と④について、まとめたものである。全般に②の場合には、一定の流量係数を仮定した計算から導き出る曲線上に実験値は乗ってはきて、読み取りは困難であるが、ここでは平均的な値をとっている。

この表から、 b/B が小さいほど流量係数 C_f は小さくなり、開口部で逆戻する波のエネルギーは大きくなることがわかる。また、

②は④に比べ、やや C_f を大きく評価することがある。上述したように、②の方が実験現象をよく説明していると思われるが、さらに、位相変化を明らかにする。式(10)は、位相変化がない場合の反射率と透過率との関係で、実験値がこの式を満足するかどうかについて検討す

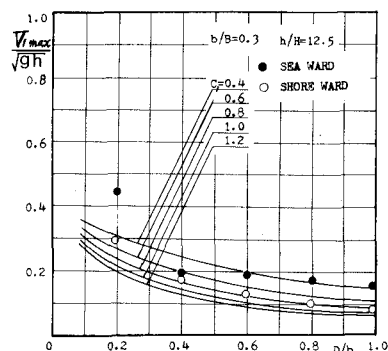


図-2 (a) 水粒子速度(急縮)

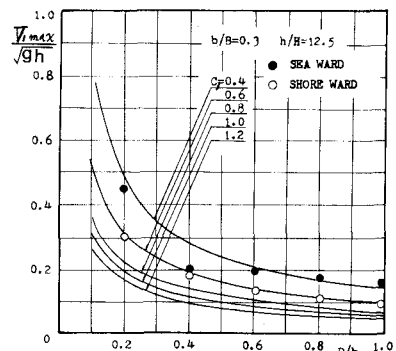


図-2 (b) 水粒子速度(急縮)

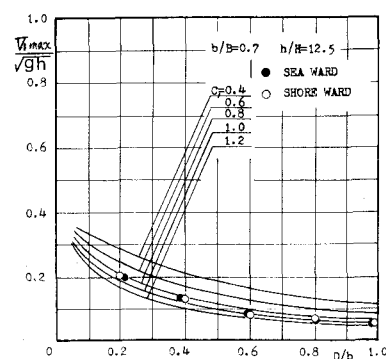


図-3 (a) 水粒子速度(急縮)

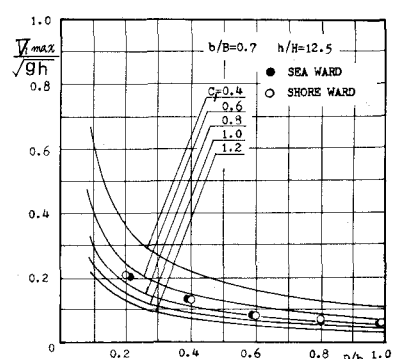


図-3 (b) 水粒子速度(急縮)

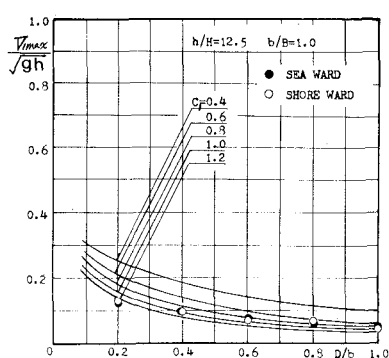


図-4 (a) 水粒子速度

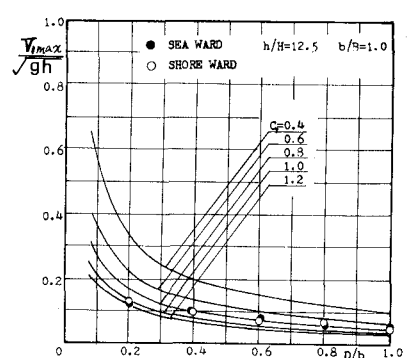


図-4 (b) 水粒子速度

する。図-7は、透過率と反射率の実験結果を示したものの一例で、図中の実線は式(11)および(10)から計算したものである。実験値もばらつきはあると考えられるが、透過率と反射率に関する流量係数が実験値に対して等しい値をとってもいはすことからして、さらには式(6)および(11)をもとにして得られる流れに関する流量係数との関係が異なることの結果が生ずる。したがって、これらのことからも浦口式における波の強度変化が無視できないことがわかる。

4. むすび：断面差

差部の水粒子速度の実験から、浦口部にみけた流れの強度変化が無視できないことを明らかにするために、浦口部の水粒子速度を求める理論式(20)および(22)を導き、流量係数に対する考察も含めさせて行い、流量係数は約0.4から1.2の間で大きくなることを示した。今後、差縮および象嵌断面の重ね合わせである差湾に関する水粒子速度特性を明らかにする必要がある。

参考文献

- 1) LeMehaut, B.: Periodical gravity wave on a discontinuity, Proc. ASCE, vol. 86, HY9, pp. 11-41, Nov., 1960.
- 2) 村上仁二, 越智裕祐, 馬田義美男: 断面差部における波のエネルギー密度について, 昭和50年度学会講演会一般講演概要, 土木学会中国四国支部, 1975.

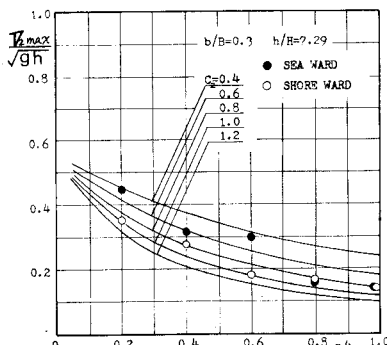


図-5 (a) 水粒子速度(急縮)

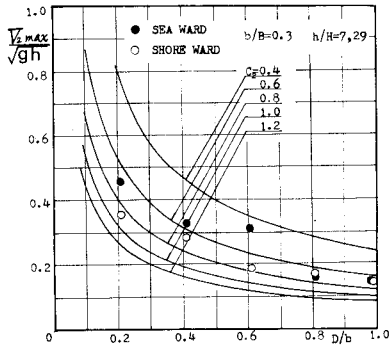


図-5 (b) 水粒子速度(急拡)

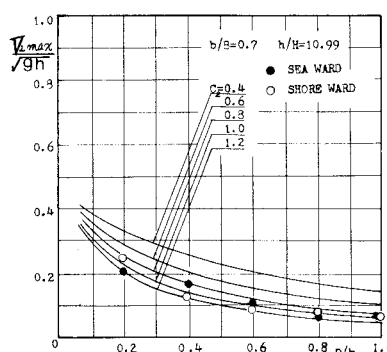


図-6 (a) 水粒子速度(急縮)

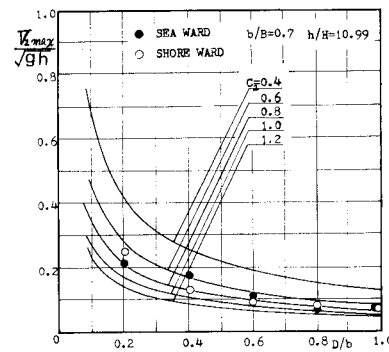


図-6 (b) 水粒子速度(急拡)

表-1 流量係数Cの値

	b/B	岸向き	沖向き	岸向き	沖向き
急縮	0.3	0.8	0.4	0.6	0.4
	0.7	1.0	1.0	0.7	0.7
	1.0	1.0	1.0	0.9	0.9
急拡	0.3	0.9	0.6	0.7	0.6
	0.7	1.0	1.0	0.8	0.7

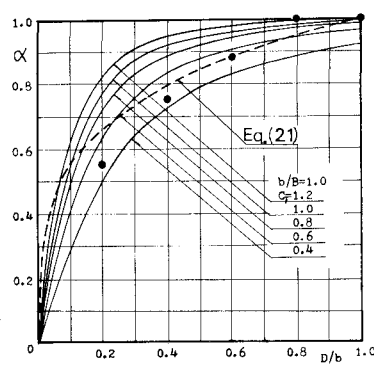


図-7 (1) 透過率

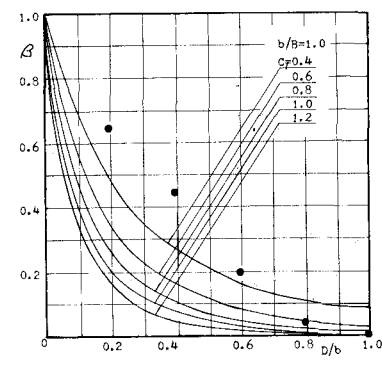


図-7 (2) 反射率